

обходимо оговорить то обстоятельство, что весьма уклоняющаяся копетдагская популяция уже почти достигла уровня подвидового ранга, но учитывая специфику видовой изменчивости, наличие широких зон интерградации и клинальной изменчивости отдельных признаков, ее выделение в отдельную форму пока признается нецелесообразным.

- Ахмедов С. Б. К систематике золотистой мабуи Закавказья и Средней Азии.— Вестник зоологии.— 1983.— № 2.— С. 84—85.
- Чернов С. А. К познанию герпетофауны Армении и Нахичеванского края // Уч зап / Сев.-Кавк. ин-т краеведения.— 1926.— 11.— С. 64—66.
- Чернов С. А. Герпетологическая фауна Армянской и Нахичеванской АССР // Зоол. сб.— 1939.— вып. 1.— С. 126—128.
- Basoglu M., Baran J. Türkiye Surungenleri. I.— Bornova; Izmir, 1977.— 272 p.
- Bird C. G. The distribution of the reptiles and amphibians in Asiatic Turkey, with notes on a collection from the Vilayets of Adana, Gaziantep and Malatya // Ann. Mag. Nat. Hist.— 1936.— 18.— P. 257—281.
- De Filippi F. Nuove o poco note specie di animali vertebrati raccolte in um viaggio in Persia nell' estate dell' anno 1862 // Arch. Zool. Anat. Fisiol. Modena.— 1863.— 2.— P. 15.
- Gray J. E. Catalogue of the Specimens of Lizards in the collections of the British Museum. London; Trust. Brit. Mus., 1845.— P. 113.
- Linnaeus C. Systema Naturae.— Ed. 10. Holmiae: Laurentij Salvii, 1758.— 824 p.
- Mertens R. Amphibien und Reptilien aus der Turkei // Rev. Fac. Sci. Univ. Istanbul.— 1952.— Ser. B.— 17, N 1.— S. 41.
- Reuss A. Zoologische Miscellen // Mus. Senckenberg., Frankfurt a / M.— 1834.— I.— S. 29—162.

Институт зоологии АН АзССР

Получено 30.01.86

Институт зоологии им. И. И. Шмальгаузена АН УССР

УДК 569.325.1 : 56(118.2)

И. В. Топачевский

## НОВЫЙ ВИД РОДА AMPHILAGUS (LAGOMORPHA, PALAEOLAGIDAE) ИЗ СРЕДНЕГО САРМАТА УКРАИНЫ

Сравнительно недавно открытое местонахождение костных остатков в известняковом карьере у пос. Грицев Шепетовского р-на Хмельницкой обл. дало богатый и оригинальный материал по одной из наиболее древних гиппарионовых позднемiocеновых фаун позвоночных Восточной Европы, что позволило выделить ее в Грицевский подкомплекс среднесарматского фаунистического комплекса (Короткевич и др., 1985). Одной из фоновых групп этого комплекса являются зайцеобразные семейства Palaeolagidae подсемейства Amphilaginae, представленные новым видом рода *Amphilagus*, описание которого и явилось предметом настоящей статьи.

До недавнего времени представители вымерших корнезубых зайцеобразных указанного семейства в пределах Восточной Европы известны не были. Лишь в 1981 г. из среднего сармата Молдавии был описан представитель подсемейства Amphilaginae, близкий к *Amphilagus fontannesii* Deremet (Лунгу, 1981). Между тем в пределах Западной Европы корнезубые зайцеобразные этой группы являются обычными компонентами позднеолигоценых и всех миоценовых териофаун и имеют более чем полувековую историю изучения (Dice, 1929; Burke, 1941; Tobien, 1974).

Сопоставление данных по Западной и Восточной Европе позволит провести корреляцию соответствующих континентальных отложений, а также представляет интерес для истории фауны, филогении зайцеобразных, биостратиграфии и палеогеографии.

LAGOMORPHA BRANDT, 1855  
 PALAEOLAGIDAE DICE, 1927  
 AMPHILAGINAE GUREEV, 1953  
 AMPHILAGUS POMEL, 1853  
*Amphilagus sarmaticus* sp. n.

Голотип. Горизонтальная ветвь нижней челюсти с полностью сохранившимся рядом  $P_3$ — $M_2$ , № 38, Грицев, Шепетовский р-н Хмельницкая обл., верхи среднего сармата, хранится в фондах отдела палеозоологии и палеонтологического музея Института зоологии им. И. И. Шмальгаузена АН УССР. П а р а т и п. Обломок верхнечелюстной кости, сохранивший скуловой отросток и  $P^3$ — $M^2$ , из того же местонахождения, что и голотип. Сохраняется там же, № 39.

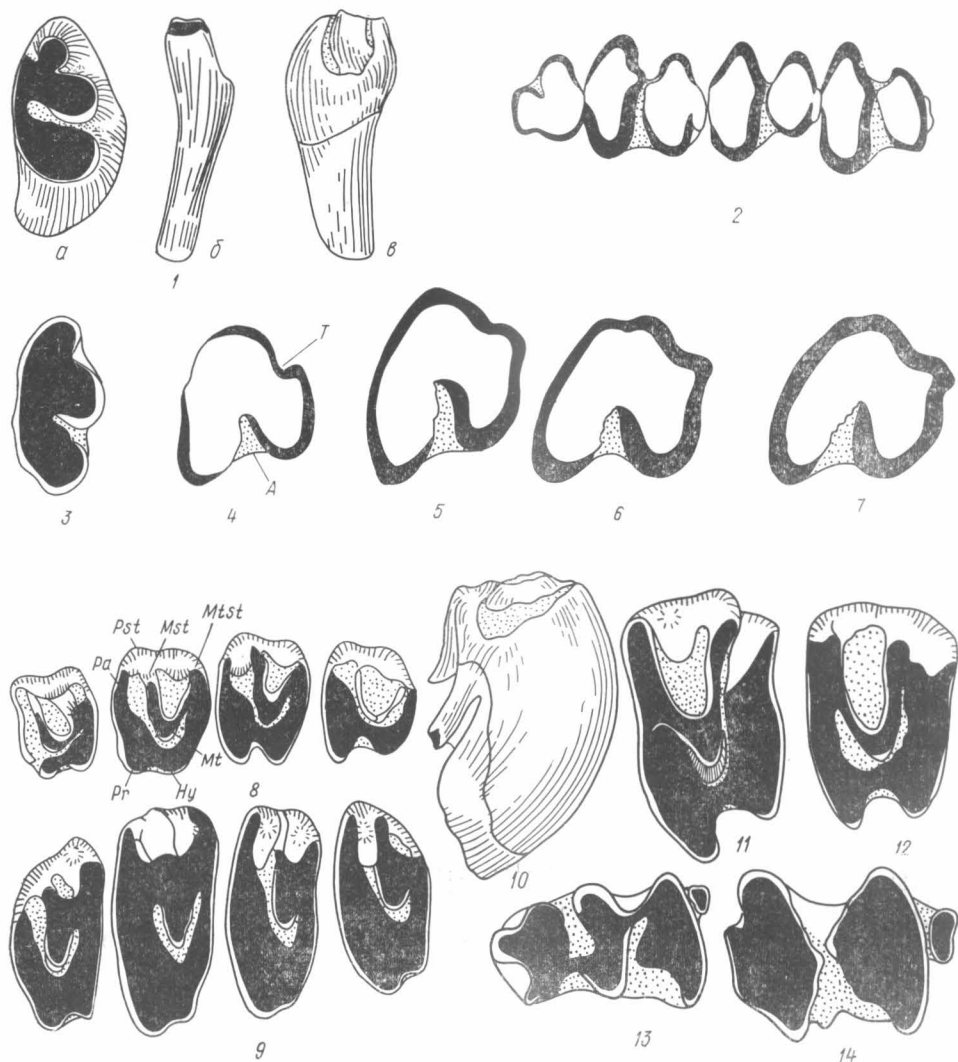
Д о п о л н и т е л ь н ы й м а т е р и а л. Обломки верхнечелюстной кости различной степени сохранности; обломки горизонтальной ветви нижней челюсти различной степени сохранности; изолированные зубы:  $Pd^3$ ;  $Pd^4$ ;  $P^2$ ;  $P^3$ ;  $P^4$ ;  $M^1$ ;  $M^2$ ;  $Pd_3$ ;  $Pd_4$ ;  $P_3$ ;  $P_4$ ;  $M_1$ ;  $M_2$  — все из того же местонахождения, что и голотип, хранятся там же.

Д и а г н о з. Базальный воротничок, оконтуривающий  $P^2$  спереди, либо его следы всегда имеются (рисунок, 1). Неглубокая, либо в большинстве случаев поверхностная, титаномисная входящая складка на  $P_3$  сохраняется вплоть до крайних степеней стирания зуба (рисунок, 2),  $P_4$ — $M_1$  имеют только один сложный корень.

О п и с а н и е. Размеры средние, крупнее, чем у *A. antiquus* Romel, но мельче, чем у *A. fontannesii*: альвеолярная длина  $P^3$ — $M^2$  более 10 мм.  $Pd^3$  и  $Pd^4$  сходного строения, отличаются по-видимому, прежде всего размерами: первый меньше второго.  $Pd^3$  характеризуется большей степенью моляризации, чем его постоянный сменщик, его коронка со стороны жевательной поверхности, как и таковая  $Pd^4$ , имеет очертания, близкие к прямоугольнику, скошенность наружной стенки коронки, свойственная  $P^3$ , не выражена. Парастиль, мезостиль и метастиль хорошо выражены. Внутренняя входящая складка, разделяющая протокол и гипокон, как правило, несколько глубже, чем на одноименных постоянных сменщиках. Метакон четко обозначен и соединен посредством гребней с мезостилем и метастилем, образуя свойственную всем без исключения постоянным премолярам, кроме  $P^2$ , и молярам V-образную складку (рисунок, 11—12). Паракон как самостоятельное структурное образование на стертых  $Pd^3$  и  $Pd^4$  иногда не выражен или вместе с парастилем проявляется в виде соответствующего расширения дентинового поля на уровне метакона. Однако, как правило, проявляется в виде ясно обозначенного переднего гребня, соединяющего его с парастилем, и реже — задним гребнем, направленным к мезостилю. В последнем случае также образуется V-образная складка, значительно меньших размеров, чем таковая в области метакона. Кроме того, раздвоение мезостиля, по всей вероятности, не происходит, в связи с чем входящая складка, разделяющая передне-наружные отделы жевательной поверхности, остается открытой. На слабо и умеренно стертых молочных зубах в области за метастилем есть задний воротничок. Цемент во входящих складках имеется, хотя развит, по-видимому, в меньшей мере, чем на постоянных  $P^3$  и  $P^4$ .

$P^2$  с тремя выходящими и соответственно двумя входящими складками, гомологизация которых с таковыми  $P^3$ — $M^2$  затруднена ввиду не выраженной моляризации зуба. Как и у *A. fontannesii*, наиболее развита внутренняя выходящая складка (рисунок, 2). Наружная выходящая складка слабо выражена, а в отдельных случаях проявляется тенденция к ее обособлению с образованием дополнительной третьей задне-наружной складочки (рисунок, 1). Все входящие складки имеют цемент. Базальный воротничок хорошо развит в области оснований конов, соответствующих наружной и средней выходящим складкам и отсутствует на уровне внутренней. Иногда сглажен на уровне наружной.

$P^3$  со скошенной вперед наружной стенкой коронки, вследствие редукции паракона и прежде всего парастиля. Последние на молодых зубах слиты в единый гребень, который по мере стирания проявляется в виде дентинового поля, суживающегося в сторону наружного края жевательной поверхности. Мезостиль четко обозначен на умеренно, средне



Строение зубов *Amphilagus sarmaticus*.

1 — P<sup>2</sup> (а — жевательная поверхность, б — вид с наружной стороны, в — вид спереди); 2 — P<sub>3</sub>—M<sub>2</sub>; 3 — P<sup>2</sup>; 4—7 — P<sub>3</sub>; 8—9 — P<sup>3</sup> — M<sup>2</sup> (различная степень стертости жевательной поверхности зубов); 10 — P<sup>4</sup> (развитие корней); 11 — Pd<sup>3</sup>; 12 — Pd<sup>4</sup>; 13 — Pd<sub>3</sub>; 14 — Pd<sub>4</sub>. Pa — параконид; Pr — протоконид; Mt — метаконад; Hy — гипоконад; Pst — парастиль; Mst — мезостиль; Mtst — метастиль; T — титаномисная складка; A — амфилягусная складка.

и сильно стертых P<sup>3</sup>, на нестертых выражен слабо. В области метастиля сильно развит воротничок, переходящий в дополнительный бугорок, расположенный снаружи от метастиля. По степени развития этих образований, по-видимому, не имеет себе равных среди известных в настоящее время видов рода *Amphilagus*. Эмаль, оконтуривающая переднюю входящую складку, слабо гофрирована. Входящие складки с хорошо развитым цементом. На слабо стертых зубах проявляется тенденция к обособлению протокона в связи с наличием передне-внутренней входящей складки эмали, прослеживающейся на значительном протяжении по высоте коронки. Наружные корни хорошо развиты.

P<sup>4</sup> полностью моляризован, по очертаниям жевательной поверхности приближается к прямоугольнику. Мезостиль и метастиль хорошо развиты, в основном составляют наружный край жевательной поверхности. Разобщены на начальных и средних стадиях с соответствующими

гребнями метакона. По мере дальнейшего стирания зуба соприкасаются с последними, но не сливаются с ними, сохраняя определенную самостоятельность. Парастиль и паракон слиты, образуя общий рисунок стирания в виде единого, вытянутого поперечно дентинового поля. Передняя наружная входящая складка позади мезостилия остается открытой в виде узкого устья (рисунок, 9).

Эмаль, оконтуривающая эту складку изнутри, четко гофрированная. По степени развития цемента сходен с предыдущим премоляром. Наружные корни хорошо развиты.

$M^1$  в целом сходен с предыдущим премоляром, отличаясь лишь некоторой скошенностью назад наружной стенки коронки в области метастилия (рисунок, 8). Последнее предопределено более слабым развитием метастилия. Если на  $P^4$  метастиль по размерам превосходит мезостиль, либо примерно равен ему, то на  $M^1$  в размерах указанных бугорков наблюдается обратное соотношение.

По этому же принципу устроен довольно крупный  $M^2$ . Однако его наружная стенка еще более скошена назад за счет значительно редуцированного метастилия. Задний гребень метакона хорошо развит, что приводит при стирании  $M^2$  к образованию V-образной складки. Степень развития корней, как и на  $M^1$ , сходна с таковой у *A. antiquus* и у *A. fontannesii*.

$Pd_3$  с мощным, усложненным в виде трилистника параконидом (рисунок, 13). Однако по мере стирания зуба внутренняя входящая складка трилистника может редуцироваться вплоть до ее полного исчезновения. В этом случае параконид приобретает двухлопастные очертания. На зубе представлены в равной мере амфилягусная (наружная) и титаномисная (внутренняя) входящие складки. Однако первая по глубине заметно превосходит вторую. Задневнутренний дополнительный бугорок сравнительно невелик, всегда на нестертых и слабо стертых зубах. На сильно стертых может резорбироваться в процессе стирания вплоть до полного исчезновения. Цемент во входящих складках отсутствует, либо слабо развит. Протоконид и метаконид на начальных стадиях стертости разобщены, соединяются лишь при хорошо развитых гребнях. На средне стертых зубах сливаются с образованием одного дентинового поля. Зуб характеризуется крайне низкой коронкой — типично брахиодонтный с мощными, развитыми примерно в равной степени передним и задним корнями. Если учесть, что постоянный сменщик этого зуба сохраняет лишь протоконидно-метаконидный и гипоконидно-энтоконидный отделы при полной редукции параконида, то на  $Pd_3$  *Amphilagus* скорее прослеживается тип строения *Titanomys*, нежели признаки, свойственные этому роду.

$Pd_4$  в целом сохраняет общий план строения, свойственный предыдущему молочному премоляру, однако параконид значительно слабее развит и упрощен: однолопастный, отделен от метаконида единственной входящей складкой — глубокой на слабо стертых зубах и неглубокой на умеренно и сильно стертых (рисунок, 14). Кроме того, задневнутренний дополнительный бугорок развит значительно сильнее, чем на  $Pd_3$  и, по всей вероятности, не подвержен полной резорбции по мере стирания зуба. По высоте коронки и степени развития корней сходен с  $Pd_3$ , однако задний корень заметно более мощный, чем передний.

$P_3$  четко отличается от молочного предшественника полной редукцией параконида и полугипсодонтностью — высокая коронка поддерживается единственным мощным корнем, соответствующим заднему корню  $Pd_3$ . На нефункционирующих зародышевых зубах, корень которых находится на начальных стадиях дифференцировки, до начальной стадии стертости, корень полностью дифференцирован — амфилягусная входящая складка глубокая, почти достигающая внутреннего края жевательной поверхности. На средне и сильно стертых  $P_3$  ее глубина последова-

тельно заметно уменьшается. Титаномисная входящая складка всегда поверхностна, хотя четко прослеживается на всех стадиях стертости. Амфилягусная складка в своей глубинной части, уже начиная с начальных стадий стертости, не направлена вперед и, по всей вероятности, не образует внутренней марки, свойственной в той или иной мере *A. antiquus* и *A. fontannesii*. Передний отдел  $P_3$  на зародышевых зубах и при начальных стадиях стертости имеет скорее титаномисное, чем амфилягусное строение. Так, составляющие этот отдел зуба основные бугорки с возрастом трансформирующиеся в складки (выходящие) — флексиды, протоконид и метаконид полностью (связаны лишь гребнями) либо частично разобщены, благодаря наличию четко выраженной передней дополнительной входящей складки эмали. В связи с этим передний отдел  $P_3$  на указанных стадиях стертости имеет четко выраженный двухбугорчатый, а по мере стирания двухфлексидный тип строения. С возрастом глубина передней дополнительной входящей петли в значительной степени нивелируется. Начиная со средних стадий стертости, протоконид и метаконид оказываются широко слитыми с образованием единого дентинового поля, широко сообщающегося с задним отделом зуба. По размерам метаконид приближается к протокониду, хотя в норме несколько меньше последнего. Эмаль гипоконида четко дифференцирована по толщине, спереди тонкая и в большинстве случаев слабо гофрирована. Амфилягусная складка всегда заполнена цементом.

$P_4$  полностью моляризован. Состоит из четко разделенных переднего (протоконидно-метаконидного) и заднего (гипоконидно-энтоконидного) отделов. Срединная связь отделов, свойственная  $P_3$ , утрачена. Следы ее представлены в виде выступа эмали на задней стенке переднего отдела без образования дентинной связи. Форма и соотносительные размеры отделов  $P_4$  подвержены возрастным изменениям. На начальных стадиях стертости задний отдел не намного меньше переднего, вытянут в поперечном направлении, приобретая очертания близкие к ромбическим. На умеренно и сильно стертых  $P_4$  вследствие закругления внутренней его стенки — овалы (в понимании А. А. Гуреева, 1964) очертания. Задне-внутренний дополнительный бугорок сравнительно крупный, полностью отделен от гипоконидно-энтоконидного отдела на не стертых и слабо стертых зубах (вплоть до стадии окончательно сформированного корня при высоте коронки более чем вдвое превышающей длину последнего). Однако уже на начальных стадиях умеренной стертости (высота коронки примерно равна таковой корня) входит в состав общего рисунка жевательной поверхности, частично сливаясь с задним отделом. Полностью резорбируется на последующих стадиях стертости зуба. Как и у *A. antiquus*, в общем рисунке жевательной поверхности отделен от гипоконидно-энтоконидного отдела хорошо развитой внутренней входящей складкой. Элементы наружной входящей складки, как и марка, на имеющемся материале не зафиксированы. Входящие складки эмали, в том числе дополнительная в области задне-внутреннего бугорка, имеют хорошо развитый цемент.

$M_1$ — $M_2$  по типу строений жевательной поверхности в целом сходны с  $P_4$ , отличаясь четко выраженным изгибом в корневой части спереди на  $M_1$  и всего зуба, включая коронку, на  $M_2$ .

Все без исключения  $P_4$ — $M_2$  имеют по одному сложному корню, образованному за счет срастания переднего и заднего корней, свойственного, по крайней мере,  $P_4$ — $M_1$  у *A. antiquus*. Следы срастания в виде относительно глубоких срединных наружного и внутреннего желобков выражены по всей высоте корневого отдела.

$M_3$  крайне мал, представлен, по всей вероятности, только протоконидно-метаконидным отделом.

Сравнение. От *A. antiquus* и *A. fontannesii* четко отличается:

1) наличием переднего базального воротничка на  $P^2$ . Всегда отсутствует у перечисленных видов;

2) постоянной неглубокой, либо в большинстве случаев поверхностной титаномисной входящей складкой  $P_3$  почти на всех возрастных стадиях стертости зуба (отсутствует лишь на сильно стертых зубах: высота корней значительно превышает таковую коронки). Как правило, отсутствует у *A. antiquus* и *A. fontannesii*. Иногда в крайне рудиментарном состоянии проявляется на одноименном премоляре у *A. antiquus*. Однако по степени развития и частоте встречаемости этого признака значительно уступает таковым у *A. sarmaticus*;

3) отсутствием внутреннего расширения амфилягусной входящей складки и тем более отщуровки ее внутреннего отдела в виде марки на начальных и среднестертых  $P_3$ ;

4) наличием однокоренных  $P_4-M_1$ . У *A. antiquus* и *A. fontannesii* передний и задний корни дифференцированы;

5) более сильным развитием мезостилиа и метастилиа на  $P^3-M^2$ , сохраняющих самостоятельность по отношению к переднему и заднему гребням метакона вплоть до поздних стадий стертости зубов. У перечисленных видов указанные стили рано сливаются с соответствующими гребнями и образуют единый рисунок стирания жевательной поверхности;

6) сильнее развитым задним гребнем метакона на  $M^2$ . Слабо развит либо вовсе не представлен на одноименных молярах упомянутых видов;

7) постоянным наличием хорошо развитого дополнительного воротничкового бугорка на слабо и среднестертых  $P^3$ . Слабо развит на слабо стертых зубах у *A. antiquus* и не зафиксирован у *A. fontannesii*;

8) сильно развитой на зародышевых и начально стертых  $P_3$  передней дополнительной входящей складки с сокращением ее следов на средне и сильно стертых зубах.

Сравнение не проводилось с *A. ulmensis* Tobien в виду неясного систематического положения последнего.

Геологическое и географическое распространение. Поздний миоцен; средний горизонт среднего сармата центральных областей Правобережья УССР, местонахождение Грицев Шепетовский р-н Хмельницкая обл.

Необходимо указать, что близкому к *A. sarmaticus* виду, по всей вероятности, принадлежит серия изолированных зубов из местонахождений Бужоры Котовского р-на и Калфа Новоананьевского р-на Молдавской ССР, описанные А. Н. Лунгу (1981) как принадлежащие *A. fontannesii*. Во всяком случае, определенное сходство с *A. sarmaticus* проявляется в степени редукции корней  $P_4-M_1$  — один сложный со следами разделения корень. Сходны также по степени развития заднего гребня метакон  $M_2$  и задне-внутреннего бугорка на  $P_4-M_2$ . Однако хорошо отличается от *A. sarmaticus* отсутствием четко обозначенной титаномисной входящей складки на  $P_3$  (очень слабые ее следы проявляются лишь на единственном из изображенных упомянутым автором экземпляре) и главное, наличием, как и у *A. fontannesii*,  $M_3$  сохранившим, помимо переднего протоконидно-метаконидного, задний — гипоконидно-энтоконидный отдел. Судя по рисунку и описанию отсутствуют также какие-либо следы воротничка на  $P^2$ .

Необходимо также отметить, что по уровню эволюционной продвинутости функционально *A. sarmaticus*, по всей вероятности, отражает более выраженную адаптацию к питанию грубой растительной пищей, прежде всего вегетативными частями растений, осуществляемую на весьма примитивном морфологическом уровне. Несомненно, это процесс параллельно, но более бурными темпами проходил и в филуме *Titanomys*, у которых еще в большей степени выражена общая тенденция к редукции корней, сопряженная с повышением степени гипсодонтности наиболее функционирующих предкоренных и постоянных коренных.

**A New Species of the Genus *Amphilagus* (Lagomorpha, Palaeolagidae) from the Middle Sarmat of the Ukraine.** Topachevsky I. V.— *Vestn. zool.*, 1987, No. 5.— *Amphilagus sarmaticus* sp. n. is described from middle Sarmat deposits of the right bank of the Ukraine. The species is distinct with the presence of the basal collar, contouring P<sup>2</sup> forwards, and undeer *Titanomys*-like incoming fold in P<sub>3</sub>. P<sub>4</sub>—M<sub>1</sub> have only one complex root.

Гурев А. А. Зайцеобразные (Lagomorpha).— М., Л.: Наука, 1964—275 с.— (Фауна СССР, Млекопитающие; т. 3; Вып. 10).

Короткевич Е. Л., Кушнирук В. Н., Семенов Ю. А., Чепалыга А. Л. Новое местонахождение среднесарматских позвоночных на Украине // *Вестн. зоологии.*— 1985.— № 3.— С. 81—82.

Лунгу А. Н. Гиппарионовая фауна среднего сармата Молдавии (насекомоядные, зайцеобразные и грызуны).— Кишинев: Штиинца, 1981.— 140 с.

Burke J. J. New fossil Leporidae from Mongolia // *Amer. Mus. Novit.*— 1941.— N 1117.— P. 1—23.

Dice L. R. The phylogeny of the Leporidae, with description of a new genus // *J. Mamm.*— 1929.— 10, N 4.— P. 340—344.

Tobien H. Zur Gebißstruktur, Systematik und Evolution der Genera *Amphilagus* and *Titanomys* (Lagomorpha, Mammalia) aus einigen Vorkommen im jügeren Tertiär Mittel- und West-europas // *Mainz. geowiss. Mitt.*— 1974.— N 3.— S. 95—214.

Институт геологических наук АН УССР

Получено 16.01.86

УДК 597.585.1

В. И. Пинчук

## ТАКСОНОМИЧЕСКИЕ ЗАМЕТКИ О БЫЧКОВЫХ (PERCIFORMES, GOBIIDAE) ФАУНЫ УКРАИНЫ

Известно, что достоверное определение многих бычковых нашей (и не только нашей) фауны сопряжено со значительными трудностями и в большинстве случаев по силам лишь специалистам. Решение вопросов систематики в этой морфологически весьма гомогенной группе осложняется номенклатурными трудностями, поэтому монографическая обработка бычковых, даже региональная, должна базироваться на устранении номенклатурных неоднозначностей или на концептуальной обоснованности принятого автором номенклатурного аппарата. Таково минимальное требование к материалу фаунистической монографии, который, подводя итоги изучения группы, в то же время является отправной точкой для дальнейших исследований. Выход в свет очередного тома региональной фауны всегда вызывает оживление исследований соответствующей группы животных — между прочим и тем, что вышедшая работа дает повод критического анализа содержащихся в ней положений.

Данная статья содержит разбор некоторых положений недавно вышедшей в свет работы А. И. Смирнова (1986), точнее, раздела этой работы, посвященного подотряду бычковидных (с. 7—183).

**С.9:** неверно, что у *Caspiosoma caspium* (Kessler, 1877) между глазами нет генипор (Pinchuk, 1980).

**С.10, 14:** впереди 1-го спинного плавника чешуя ближе подходит к затылку у *Pomatoschistus minutus elongatus* (Canestrini, 1861), а не у *Pomatoschistus marmoratus* (Risso, 1810); однако считать рис. 2 и 3 перепутанными местами не позволяют размер чешуи, форма тела и другие детали.

**С.22:** у *Knipowitschia longicaudata* (Kessler, 1877) передняя часть спины голая посредине до середины основания 1-го спинного плавника, тогда как на рис. 4 чешуя достигает впереди затылка.

**С.27:** типовая местность\* *Knipowitschia caucasica* (Kawrjasky in Berg, 1916) — озерцо в Батуми; Ленкорань — типовая местность *Gobius lenkoranicus* Kessler,

\* А. Смирнов (1986) употребляет термин «типовая территория», лишенный номенклатурного смысла.